



Università degli Studi di Pavia  
Facoltà di Ingegneria

Corso di  
Principi e Applicazioni di  
Elettrotecnica

# Circuiti magnetici



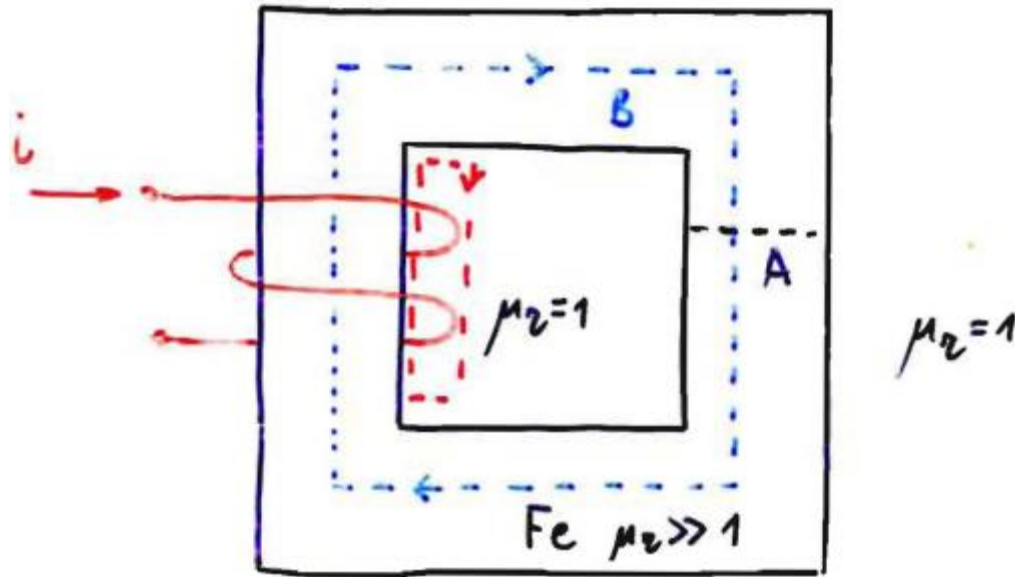
# Circuito magnetico

## ■ Che cos'è?

Si definisce **circuito magnetico** un **tubo di flusso** del **vettore induzione magnetica  $\mathbf{B}$** , ovvero un volume la cui superficie laterale ha per **tangente in ciascun punto** il vettore  **$\mathbf{B}$** .

Il volume **può essere troncato** da **due superfici** normali all'asse del tubo (**tronco di tubo di flusso**).

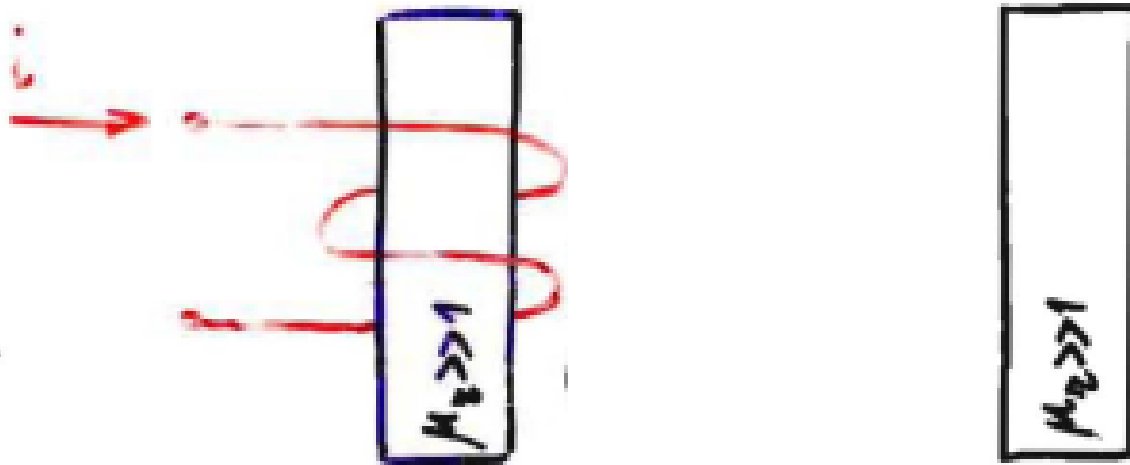
# Circuito magnetico



La figura soprastante mostra un CIRCUITO MAGNETICO ATTIVO CHIUSO, dove la linea di mezzeria, tratteggiata in azzurro, rappresenta una linea di flusso (di campo).

# Circuito magnetico

## DUE PROTOTIPI DI BIPOLO MAGNETICO



La figura a sinistra mostra un circuito magnetico aperto **ATTIVO** (ovvero che porta sorgenti del campo), mentre la figura a destra mostra un circuito magnetico aperto **PASSIVO** (ovvero che non porta sorgenti del campo).



# Circuito magnetico

Consideriamo un CIRCUITO CHIUSO ATTIVO.  
Introduciamo le seguenti ipotesi:

- Struttura omogenea (un solo materiale ferromagnetico di permeabilità  $\mu_r$ )
- Sezione “A” costante
- L'avvolgimento è un FOGLIO DI CORRENTE (un singolo strato di spire avvolte di spessore infinitesimo)
- Linee di flusso (di campo) uniformemente distribuite



# Circuito magnetico

Preso una linea di campo in corrispondenza della mezzeria del nucleo ferromagnetico (di lunghezza  $\ell$ ) è possibile calcolare la circuitazione del vettore  $\mathbf{H}$  nel seguente modo:

$$\oint_{\ell} \overline{\mathbf{H}} \cdot \overline{\mathbf{t}} \, d\ell = NI = \int_{\ell} \mathbf{H} d\ell = \int_{\ell} \frac{\mathbf{B}}{\mu} d\ell =$$

$$\int_{\ell} \frac{\Phi}{A} \frac{1}{\mu} d\ell = \Phi \int_{\ell} \frac{1}{A\mu} d\ell = \Phi \frac{\ell}{A\mu}$$

$$\mathbf{M} = NI = \Phi \frac{\ell}{A\mu}$$

con  $\mu = \mu_0 \mu_r$



# Circuito magnetico

L'ultima relazione:

$$\mathbf{M} = \mathbf{NI} = \Phi \frac{\ell}{\Lambda\mu}$$

rappresenta la **LEGGE DI HOPKINSON** (ovvero l'equivalente della legge di Ohm per i circuiti magnetici), dove:

$$\mathfrak{R} = \frac{\ell}{\Lambda\mu}$$

viene definita **RILUTTANZA** del circuito magnetico e si misura in  $\text{H}^{-1}$  (base  $\Phi$ ).

In maniera duale si ha:  $\Phi = \mathbf{M}\Lambda$

dove 
$$\Lambda = \frac{\Lambda\mu}{\ell}$$

è la **PERMEANZA** del circuito magnetico e si misura in H (base M).



# Circuito magnetico

## ANALOGIE FRA:

### Circuiti elettrici

Legge di Ohm

$$E = RI$$

$$A = GV$$

E (V)

A (I)

R

$\sigma$  conducibilità

### Circuiti magnetici

Legge di Hopkinson

$$M = \mathfrak{R}\Phi$$

$$\Phi = \Lambda M$$

M

$\Phi$

$\mathfrak{R}$

$\mu$  permeabilità



# Circuito magnetico

## DIFFERENZE

$$\frac{\mu_{\text{FERROMAGNETICO}}}{\mu_{\text{AMAGNETICO}}} \ll \frac{\sigma_{\text{CONDUTTORE}}}{\sigma_{\text{ISOLANTE}}}$$

L'approssimazione di circuito magnetico non è più valida quando le linee di flusso di **B** non sono concentrate nel materiale ferromagnetico (“isolamento” magnetico più scadente di quello elettrico).



# Circuito magnetico

Inoltre nel materiale ferromagnetico:

$\mu_r = \mu_r(H)$  la permeabilità dipende da H in  
maniera **NON LINEARE**

mentre nel materiale conduttore:

$\sigma = \sigma_0$  la conducibilità è costante



# Circuito magnetico

Per la **RISOLUZIONE DEI CIRCUITI MAGNETICI**, valgono i principi già visti per i circuiti elettrici, tenendo presente che quelli magnetici possono essere non lineari. In generale valgono:

- per circuito magnetico con nodi e maglie:

$$\sum_i \Phi_i = 0 \quad \text{KCL}$$

$$\sum_j U_j = 0 \quad \text{KVL} \quad (\text{U caduta di "tensione magnetica"})$$

- per circuito magnetico aperto attivo:

$$U = M + \mathfrak{R}\Phi$$

- per circuito magnetico aperto passivo:

$$U = \mathfrak{R}\Phi$$



# Circuito magnetico

## RIFRAZIONE DELLE LINEE DI FORZA

del campo al bordo fra due mezzi omogenei di diversa permeabilità ( $\mu_1, \mu_2$ )

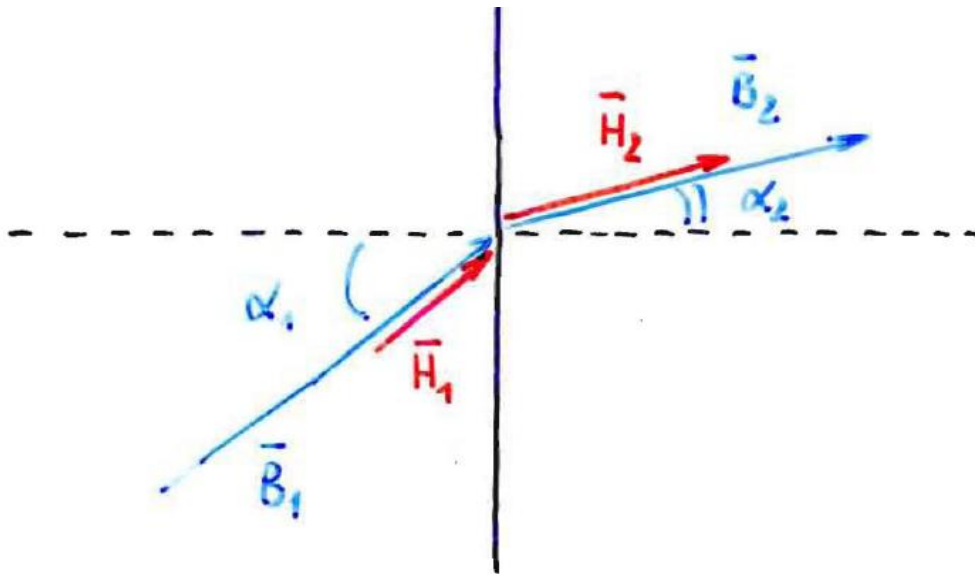
In assenza di correnti all'interfaccia, si ha:

- 1)  $\mathbf{B}_1$  e  $\mathbf{B}_2$  hanno uguale componente normale al bordo
- 2)  $\mathbf{H}_1$  e  $\mathbf{H}_2$  hanno uguale componente tangenziale al bordo

# Circuito magnetico

Mezzo 1

Mezzo 2



$$\frac{\operatorname{tg} \alpha_1}{\operatorname{tg} \alpha_2} = \frac{\mu_1}{\mu_2}$$

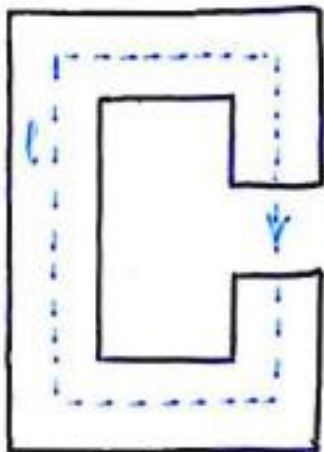
Legge di rifrazione  
delle linee di forza

# Circuito magnetico

## MAGNETE PERMANENTE

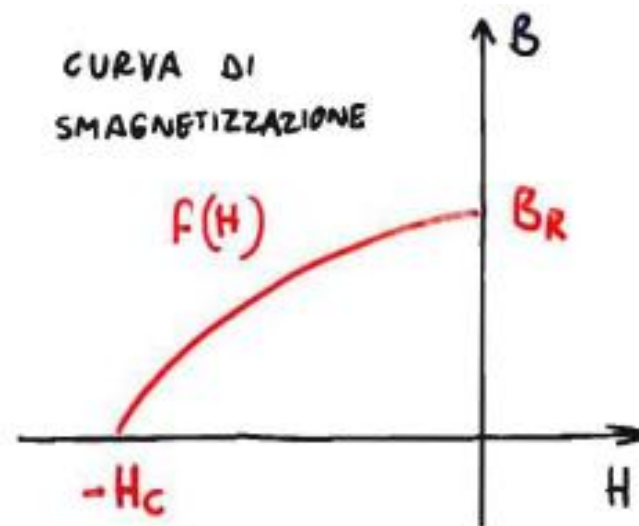
E' un materiale ferromagnetico caratterizzato da un' induzione residua (di natura microscopica) in assenza di forze magnetomotrici applicate.

**IPOSTESI: tubo di flusso**



Polo N

Polo S



# Circuito magnetico

- Calcolo del punto di lavoro nel piano (B,H)

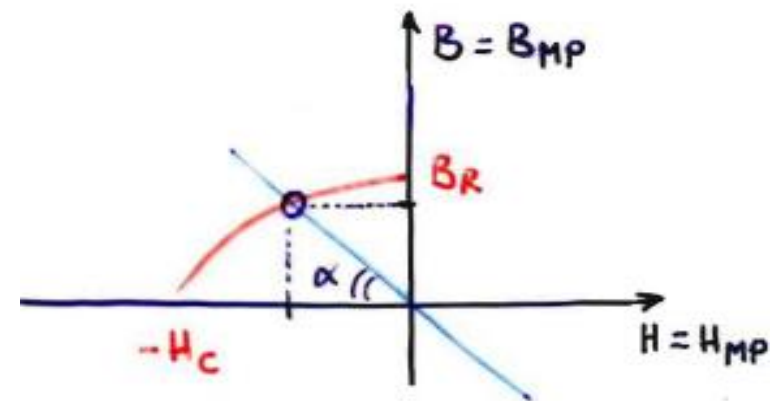
$$NI = 0 = \oint_l \mathbf{H} \cdot \mathbf{t} \, dl = \mathbf{H}_{MP} \ell_{MP} + \mathbf{H}_{Aria} \ell_{Aria}$$

All' interfaccia Aria-MP si ha per continuità:  $B_{Aria} = B_{MP}$   
da cui:

$$\mu_0 \mathbf{H}_{Aria} = -\mu_0 \mathbf{H}_{MP} \frac{\ell_{MP}}{\ell_{Aria}} = f(\mathbf{H}_{MP})$$

$$\text{tg } \alpha = -\mu_0 \frac{\ell_{MP}}{\ell_{Aria}}$$

**COROLLARIO:** All'interno del magnete B e H sono antiparalleli!



# Esempio 1: magnete permanente

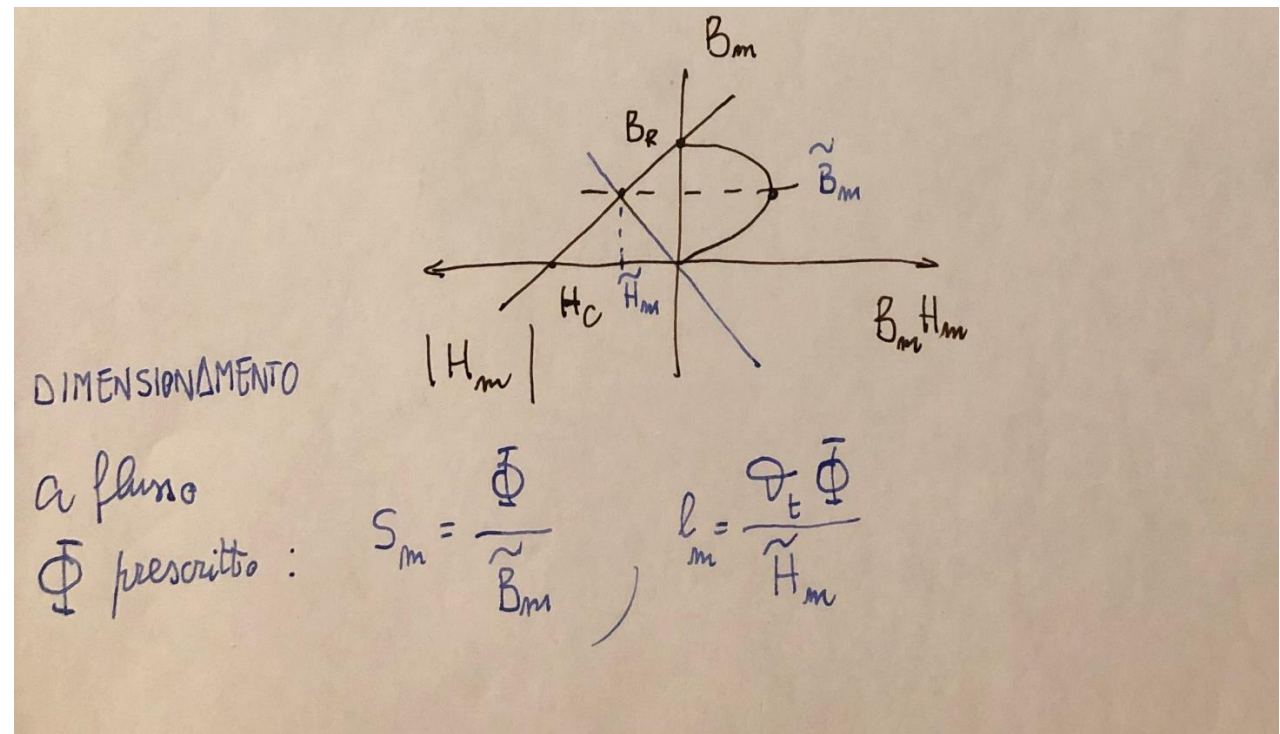
$H_t t = -H_m l_m$  Ampère

$\left\{ \begin{array}{l} \Phi_m = \Phi_t \text{ tubo di flusso} \\ B_m S_m = B_t S_t \end{array} \right.$

$B_m S_m / H_m l_m = B_t S_t H_t t$

$\frac{1}{2} \underbrace{(B_m / H_m)}_{\text{max}} \underbrace{S_m l_m}_{\text{min}} = \frac{1}{2} B_t H_t S_t t$

# Esempio 1: magnete permanente





# Esempio 2: elettromagnete

area del triangolo

$$\frac{1}{2} BH = \text{energia per unit\`a di volume}$$

↓

energia  $\mathcal{L} = \frac{1}{2} BH \cdot V = \frac{1}{2} BH \cdot \mu t S =$

$$= \frac{1}{4} \mu_0 \frac{(NI)^2}{t} S$$

Il sistema sviluppa lavoro meccanico ed energia interna a spese di lavoro elettrico.

Principio dei lavori virtuali :  $F_m dt = d\mathcal{L}$

$$F_m = \frac{d\mathcal{L}}{dt} = -\mu_0 \frac{(NI)^2}{4t^2} S$$

# Esempio 2: elettromagnete



INVERSO (spostamento massimo)

$$\mathcal{D} = \frac{2t}{\mu_0 S}$$

$$W = Ft, \quad N = 2St$$

$$\boxed{\mathcal{E} = \frac{1}{2} BHN = \frac{B^2}{2\mu_0} 2St = W}$$

$$\frac{1}{2} \frac{B^2}{\mu_0} 2St = \frac{B^2}{2\mu_0} 2St$$

$$\frac{B^2}{2\mu_0} 2St = Ft$$

$$F = \mu_0^{-1} B^2 S, \quad B = \sqrt{\frac{\mu_0 F}{S}}$$

$$\Phi = BS = \sqrt{\mu_0 FS}$$

$$NI = \mathcal{D}\Phi = 2t \sqrt{F(\mu_0 S)^{-1}}$$